

# MODÉLISATION STATISTIQUE DE PRÉCIPITATIONS URBAINES À FINE ÉCHELLE SPATIO-TEMPORELLE

ERFJLERJLZRGJ

JDS Bruxelles 2023

**Chloé SERRE-COMBE**<sup>1</sup> Nicolas MEYER<sup>1</sup> Thomas OPITZ<sup>2</sup> Gwladys TOULEMONDE<sup>1</sup>

<sup>1</sup>Univ. Montpellier, CNRS, IMAG, Inria, France

<sup>2</sup>INRAE, BioSP, Avignon, France

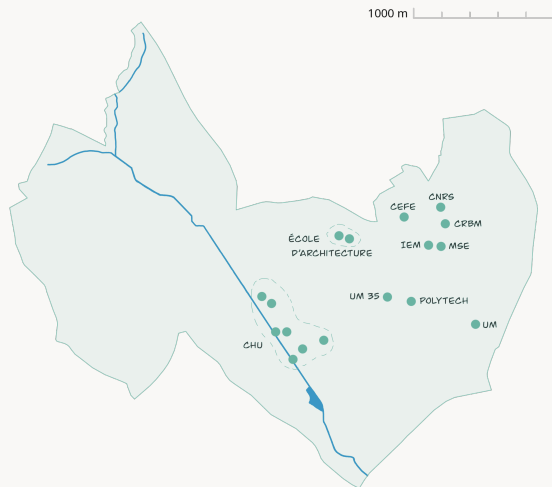


2 km



- ▶ **Situation géographique :**  
Bassin versant du Verdanson, affluent du Lez, situé en zone urbaine
- ▶ **Contexte :**  
Épisodes méditerranéens, risque d'inondations

# STATIONS DE MESURES



- ▶ **Source :** Observatoire urbain de l'HydroScience Montpellier<sup>1</sup>
- ▶ **Période :** 2019 à 2022
- ▶ **Fine échelle temporelle :**  
À la minute avec agrégation à 5 minutes
- ▶ **Fine échelle spatiale :**  
Inter-distance entre 77 et 1531 mètres

<sup>1</sup>FINAUD-GUYOT et al. 2023

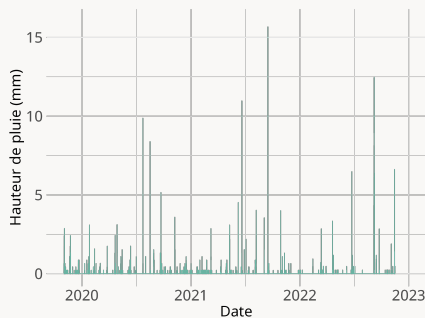
$\mathcal{S} = \{17 \text{ pluviomètres}\}$

## Generalized Pareto Distribution

$$\bar{H}_\xi \left( \frac{y}{\sigma} \right) = \begin{cases} (1 + \xi \frac{y}{\sigma})_+^{-1/\xi} & \text{si } \xi \neq 0, \\ e^{-\frac{y}{\sigma}} & \text{si } \xi = 0, \end{cases}$$

où  $a_+ = \max(a, 0)$ ,  $\xi \in \mathbb{R}$ ,  $\sigma > 0$  et  $y > 0$

- ▶ Modélise les pluies extrêmes
- ▶ Dépend d'un choix de seuil



## Generalized Pareto Distribution

$$\bar{H}_\xi \left( \frac{y}{\sigma} \right) = \begin{cases} \left( 1 + \xi \frac{y}{\sigma} \right)_+^{-1/\xi} & \text{si } \xi \neq 0, \\ e^{-\frac{y}{\sigma}} & \text{si } \xi = 0, \end{cases}$$

où  $a_+ = \max(a, 0)$ ,  $\xi \in \mathbb{R}$ ,  $\sigma > 0$  et  $y > 0$

- ▶ Modélise les pluies extrêmes
- ▶ Dépend d'un choix de seuil



## Extended GPD<sup>1</sup>

$$F_Y(y) = G \left( H_\xi \left( \frac{y}{\sigma} \right) \right),$$

avec  $G(x) = x^\kappa$ ,  $\kappa > 0$

- ▶ Modélise les pluies hautes et modérées
- ▶ Évite le choix d'un seuil

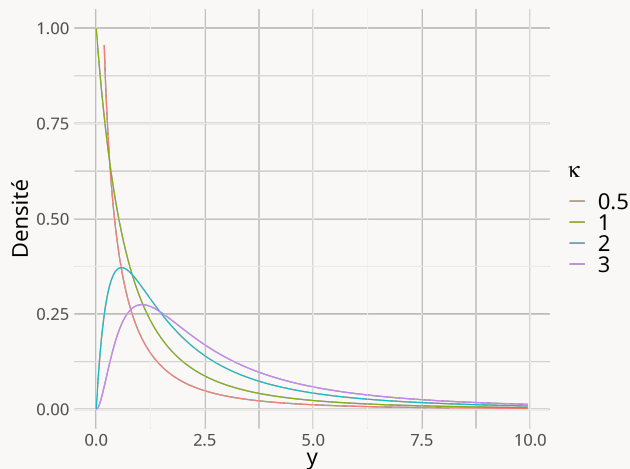
---

<sup>1</sup>NAVEAU et al. 2016

Generalized Pareto Distribution

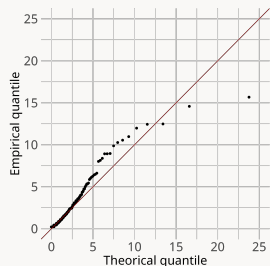
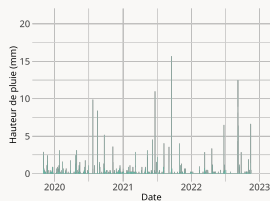
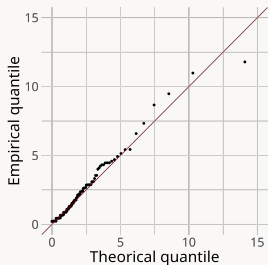
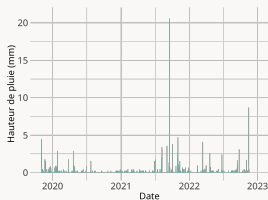


Extended GPD



$$\sigma = 1, \xi = 0.5$$

# AJUSTEMENT D'UNE EGPD



Ajustement sur les sites du CNRS et de Polytech  
( $\hat{\kappa} = 0.56$ ,  $\hat{\sigma} = 0.26$  et  $\hat{\xi} = 0.51$ )

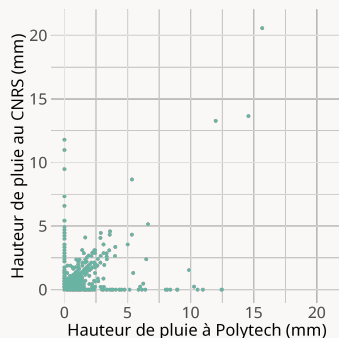
# MODÉLISATION DE LA DÉPENDANCE SPATIO-TEMPORELLE

## Mesure de dépendance extrême

Soient  $U \sim \mathcal{U}(0,1)$  et  $V \sim \mathcal{U}(0,1)$

On définit

$$\chi = \lim_{u \rightarrow 1} \chi(u), \text{ avec } \chi(u) = \mathbb{P}(U > u \mid V > u)$$



## Variogramme

Soit  $X = \{X(s), s \in \mathcal{S}\}$  un processus. Pour tout  $v \in \mathcal{S}$ , le variogramme  $\gamma$  est défini

$$2\gamma(v) = \mathbb{V}(X(s+v) - X(s))$$



**Cadre:**  $X = \{X(s, t), (s, t) \in \mathcal{S} \times [0, \infty)\}$  un processus max-stable de Brown-Resnick, strictement stationnaire et isotrope (BUHL et al. 2019).

## Extrémogramme spatio-temporel d'un processus de Brown-Resnick

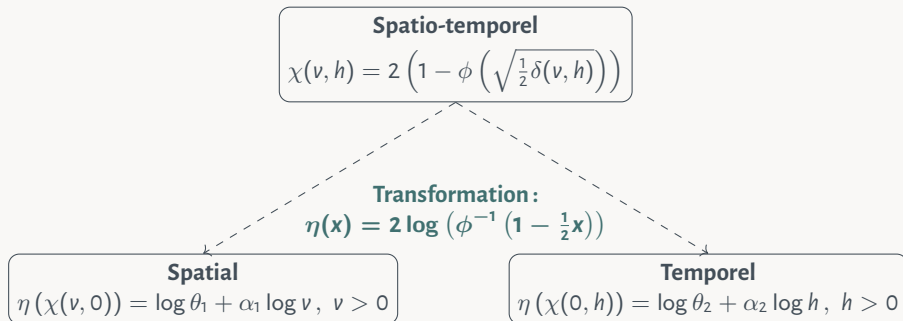
Soient  $v \geq 0$  un lag spatial et  $h \geq 0$  un lag temporel. On a

$$\chi(v, h) = 2 \left( 1 - \phi \left( \sqrt{\frac{1}{2} \delta(v, h)} \right) \right)$$

avec  $\phi$  la f.d.r. d'une loi normale centrée-réduite et  $\delta$  le variogramme associé.

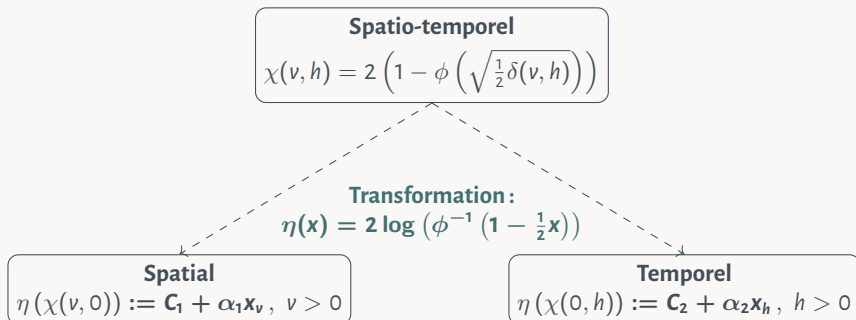
# MODÉLISATION DE LA DÉPENDANCE SPATIO-TEMPORELLE

Hypothèse de séparabilité additive:  $\frac{\delta(v,h)}{2} = \theta_1 v^{\alpha_1} + \theta_2 h^{\alpha_2}$ ,  $0 < \alpha_1, \alpha_2 \leq 2$ ,  $\theta_1, \theta_2 > 0$



# MODÉLISATION DE LA DÉPENDANCE SPATIO-TEMPORELLE

Hypothèse de séparabilité additive:  $\frac{\delta(v,h)}{2} = \theta_1 v^{\alpha_1} + \theta_2 h^{\alpha_2}$ ,  $0 < \alpha_1, \alpha_2 \leq 2$ ,  $\theta_1, \theta_2 > 0$



Modèle linéaire pondéré (BUHL et al. 2019)

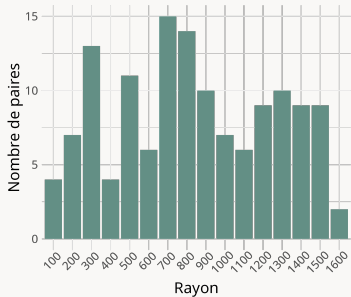
# ESTIMATION DE LA DÉPENDANCE SPATIALE

## Considération de rayons autour de chaque site

Pour tout lag spatial  $v = k \times \Delta v$ ,  $k \in 1, 2, \dots$ , on définit

$$N(v) = \{(s_i, s_j) \mid \|s_i - s_j\| \in ]v - \Delta v, v]\}$$

Nous prenons  $\Delta v = 100$  mètres.



## Extrémogramme spatial

Soit  $v$  fixé.

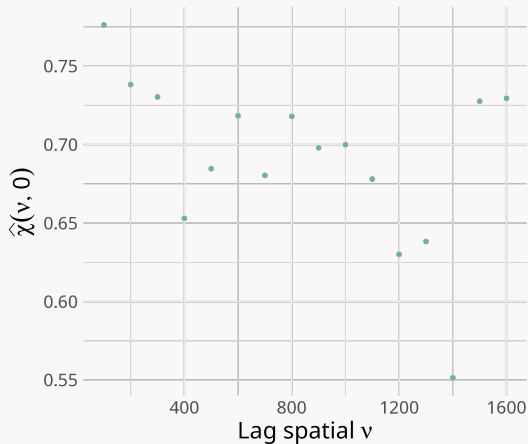
Pour tout temps  $t$  et pour tout  $(s_i, s_j) \in N(v)$ ,

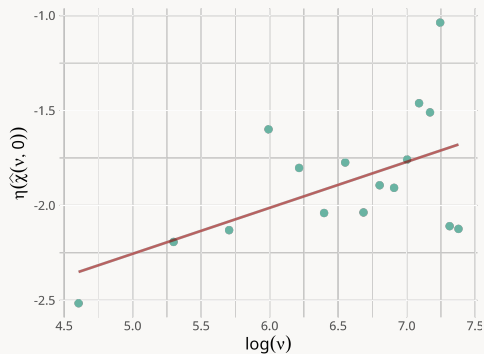
$$\chi_{ij,q}^{(t)}(v, 0) = \frac{\mathbb{P}(X(s_i, t) > q, X(s_j, t) > q)}{\mathbb{P}(X(s_i, t) > q)}$$

**Estimateur :**

$$\hat{\chi}_q^{(t)}(v, 0) = \frac{\frac{1}{|N(v)|} \sum_{(s_i, s_j) \in N(v)} \mathbb{1}_{\{X(s_i, t) > q, X(s_j, t) > q\}}}{\frac{1}{|S|} \sum_{i=1}^{|S|} \mathbb{1}_{\{X(s_i, t) > q\}}}$$

avec  $q$  un quantile assez grand.





## Estimation des paramètres

$$\begin{pmatrix} \hat{C}_1 \\ \hat{\alpha}_1 \end{pmatrix} = \operatorname{argmax}_{C_1, \alpha_1} \sum_v w_v (\eta(\hat{\chi}(v, 0)) - (C_1 + \alpha_1 x_v))^2$$

## Résultats

	Estimation	Écart-type
$\hat{C}_1$	-3.465***	0.605
$\hat{\alpha}_1$	0.242*	0.093

\* p-value < 0.05; \*\*\* p-value < 0.001

# ESTIMATION DE LA DÉPENDANCE TEMPORELLE

Avec  $\Delta h = 5$  minutes.

## Extrémogramme temporelle

Soit  $h$  fixé.

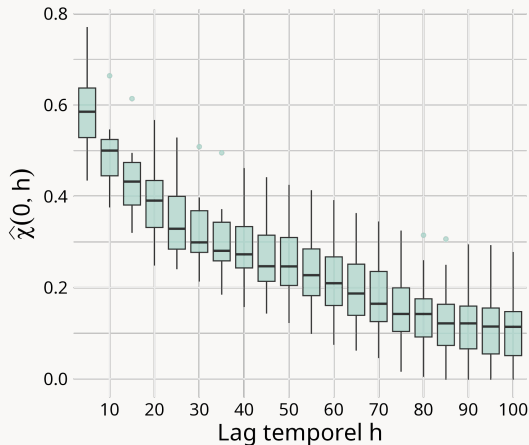
Pour un site  $s$  et pour tout temps  $t$

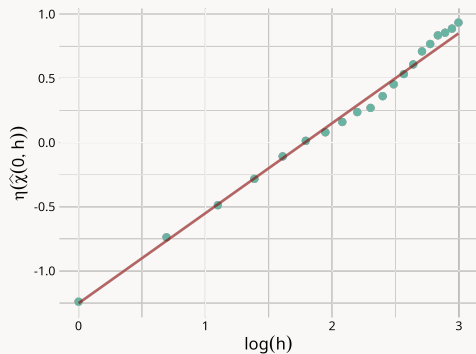
$$\chi_{t,q}^{(s)}(0, h) = \frac{\mathbb{P}(X(s, t) > q, X(s, t+h) > q)}{\mathbb{P}(X(s, t) > q)}$$

**Estimateur :**

$$\hat{\chi}_q^{(s)}(0, h) = \frac{\frac{1}{T-h} \sum_{k=1}^{T-h} \mathbb{1}_{\{X(s, t_k) > q, X(s, t_k+h) > q\}}}{\frac{1}{T} \sum_{k=1}^T \mathbb{1}_{\{X(s, t_k) > q\}}}$$

avec  $q$  un quantile assez grand et  $t_k \in \{t_1, \dots, t_T\}$ .





## Estimation des paramètres

$$\begin{pmatrix} \hat{C}_2 \\ \hat{\alpha}_2 \end{pmatrix} = \operatorname{argmax}_{C_2, \alpha_2} \sum_h w_h (\eta(\hat{x}(0, h)) - (C_2 + \alpha_2 x_h))^2$$

## Résultats

	Estimation	Écart-type
$\hat{C}_2$	-1.252***	0.023
$\hat{\alpha}_2$	0.702***	0.012

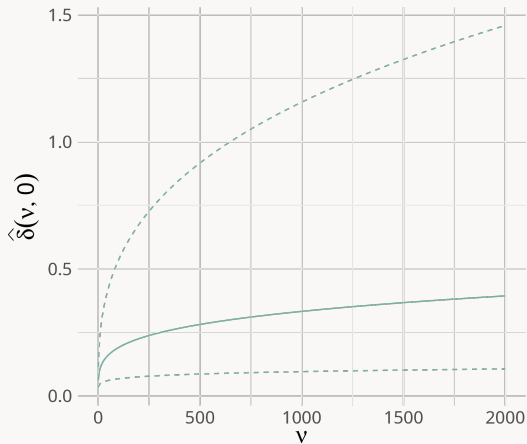
\*\*\* p-value < 0.001



# VARIOGRAMME EMPIRIQUE

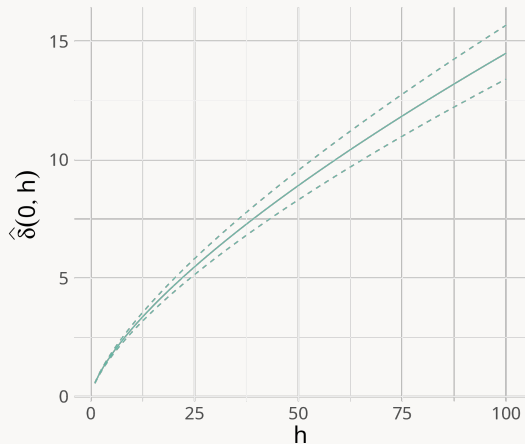
**Spatial**

$$\hat{\delta}(v, 0) = 2\hat{\theta}_1 v^{\hat{\alpha}_1}$$



**Temporel**

$$\hat{\delta}(0, h) = 2\hat{\theta}_2 h^{\hat{\alpha}_2}$$



- ▶ Structure des décalages spatiaux
- ▶ Cas de non séparabilité avec variogrammes plus complexes
- ▶ Structure anisotrope et advection
- ▶ Modélisation multi-échelle

- BUHL, Sven et al. (2019). “Semiparametric estimation for isotropic max-stable space-time processes”. In : DOI : [10.3150/18-BEJ1061](https://doi.org/10.3150/18-BEJ1061).
- FINAUD-GUYOT, Pascal et al. (2023). *Rainfall data collected by the HSM urban observatory (OMSEV)*. DOI : [10.23708/67LC36](https://doi.org/10.23708/67LC36).
- NAVEAU, Philippe et al. (2016). “Modeling jointly low, moderate, and heavy rainfall intensities without a threshold selection”. In : *Water Resources Research*. DOI : [10.1002/2015WR018552](https://doi.org/10.1002/2015WR018552).